

Aula 14 — Planaridade

Teoria dos Grafos — QXD0152



UNIVERSIDADE
FEDERAL DO CEARÁ
CAMPUS QUIXADÁ

Prof. Atílio Gomes Luiz
gomes.atilio@ufc.br

Universidade Federal do Ceará

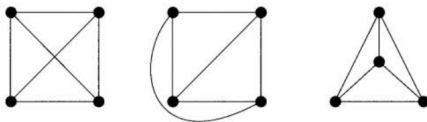
1º semestre/2021



Introdução

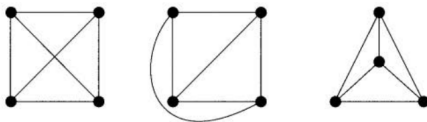


Grafos planares



Três desenhos do grafo K_4 no plano

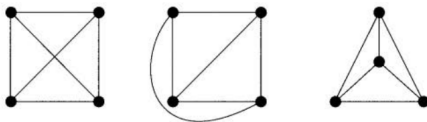
Grafos planares



Três desenhos do grafo K_4 no plano

- **Definição:** Um grafo G é **planar** ou **imersível no plano** se pode ser desenhado no plano de modo que quaisquer duas de suas arestas não se intersectam, exceto em extremos que sejam comuns a ambas.

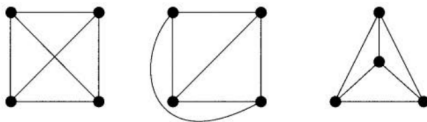
Grafos planares



Três desenhos do grafo K_4 no plano

- **Definição:** Um grafo G é **planar** ou **imersível no plano** se pode ser desenhado no plano de modo que quaisquer duas de suas arestas não se intersectam, exceto em extremos que sejam comuns a ambas.
- Tal desenho no plano de um grafo G é chamado uma **imersão plana** ou **representação plana** de G .

Grafos planares



Três desenhos do grafo K_4 no plano

- **Definição:** Um grafo G é **planar** ou **imersível no plano** se pode ser desenhado no plano de modo que quaisquer duas de suas arestas não se intersectam, exceto em extremos que sejam comuns a ambas.
- Tal desenho no plano de um grafo G é chamado uma **imersão plana** ou **representação plana** de G .
- Um **grafo plano** é um grafo planar que está imerso no plano.

Curvas

- O estudo de grafos planares têm relação íntima com uma área da matemática chamada Topologia.
- Os resultados de topologia que são especialmente relevantes no estudo de grafos planares são aqueles que lidam com **curvas simples**.

Curvas

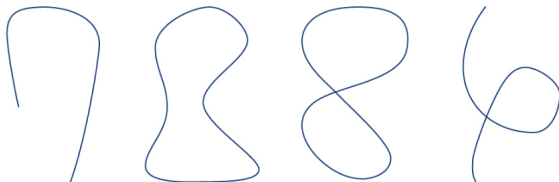
- O estudo de grafos planares têm relação íntima com uma área da matemática chamada Topologia.
- Os resultados de topologia que são especialmente relevantes no estudo de grafos planares são aqueles que lidam com **curvas simples**.
- Uma **curva** é a imagem de uma função contínua $f: [0, 1] \rightarrow \mathbb{R}^2$.

Curvas

- O estudo de grafos planares têm relação íntima com uma área da matemática chamada Topologia.
- Os resultados de topologia que são especialmente relevantes no estudo de grafos planares são aqueles que lidam com **curvas simples**.
- Uma **curva** é a imagem de uma função contínua $f: [0, 1] \rightarrow \mathbb{R}^2$.
- Uma **curva fechada** é a imagem de uma função contínua $f: [0, 1] \rightarrow \mathbb{R}^2$ na qual $f(0) = f(1)$.

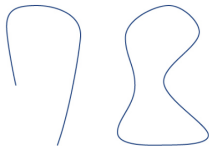
Curvas

- O estudo de grafos planares têm relação íntima com uma área da matemática chamada Topologia.
- Os resultados de topologia que são especialmente relevantes no estudo de grafos planares são aqueles que lidam com **curvas simples**.
- Uma **curva** é a imagem de uma função contínua $f: [0, 1] \rightarrow \mathbb{R}^2$.
- Uma **curva fechada** é a imagem de uma função contínua $f: [0, 1] \rightarrow \mathbb{R}^2$ na qual $f(0) = f(1)$.



Curvas Simples (ou Curvas de Jordan)

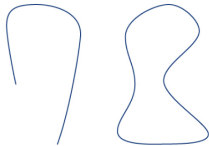
- Uma curva (curva fechada) é **simples** se ela não intersecta a si mesma.
 - Formalmente, uma curva é dita ser **simples**, ou uma **curva de Jordan**, se ela é **injetiva**, ou seja, se para todo $x, y \in [0, 1]$, tem-se $f(x) = f(y) \implies x = y$.



Curvas de Jordan

Curvas Simples (ou Curvas de Jordan)

- Uma curva (curva fechada) é **simples** se ela não intersecta a si mesma.
 - Formalmente, uma curva é dita ser **simples**, ou uma **curva de Jordan**, se ela é **injetiva**, ou seja, se para todo $x, y \in [0, 1]$, tem-se $f(x) = f(y) \implies x = y$.

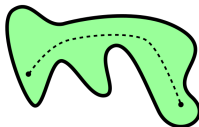


Curvas de Jordan

- Propriedades das curvas simples são importantes no estudo de grafos planos porque um ciclo em um grafo plano é uma curva simples fechada.

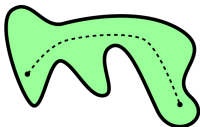
Teorema da curva de Jordan

- Um subconjunto do plano é dito **conexo por arcos** se quaisquer dois de seus pontos podem ser conectados por uma curva contida inteiramente dentro do subconjunto.



Teorema da curva de Jordan

- Um subconjunto do plano é dito **conexo por arcos** se quaisquer dois de seus pontos podem ser conectados por uma curva contida inteiramente dentro do subconjunto.



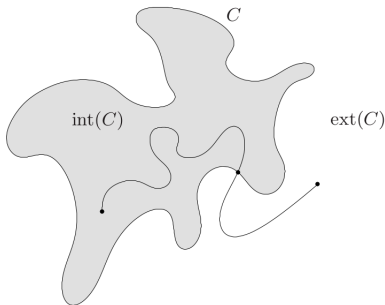
Teorema da Curva de Jordan: Qualquer curva simples fechada C no plano particiona o resto do plano em dois subconjuntos do plano conexos por arcos e disjuntos.

Teorema da curva de Jordan

- Os dois subconjuntos do plano nos quais a curva simples fechada C particiona o plano são chamados de **interior** e **exterior** de C e são denotados por $int(C)$ e $ext(C)$.

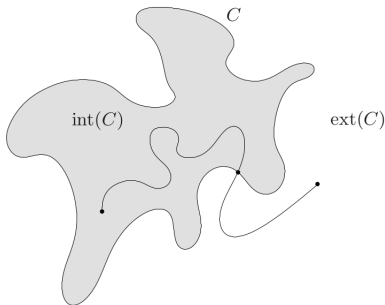
Teorema da curva de Jordan

- Os dois subconjuntos do plano nos quais a curva simples fechada C particiona o plano são chamados de **interior** e **exterior** de C e são denotados por $int(C)$ e $ext(C)$.
- O Teorema da Curva de Jordan implica que todo arco ligando um ponto de $int(C)$ a um ponto de $ext(C)$ intersecta C em pelo menos um ponto.



Teorema da curva de Jordan

- Os dois subconjuntos do plano nos quais a curva simples fechada C particiona o plano são chamados de **interior** e **exterior** de C e são denotados por $\text{int}(C)$ e $\text{ext}(C)$.
- O Teorema da Curva de Jordan implica que todo arco ligando um ponto de $\text{int}(C)$ a um ponto de $\text{ext}(C)$ intersecta C em pelo menos um ponto.



Podemos usar esse teorema para provar que o grafo K_5 não é planar.

O grafo K_5 não é planar

Teorema 14.1: K_5 não é planar.

Demonstração:

O grafo K_5 não é planar

Teorema 14.1: K_5 não é planar.

Demonstração:

Suponha, por absurdo, que K_5 tem uma imersão planar G . Sejam v_1, v_2, v_3, v_4, v_5 os vértices de G . Como G é completo, quaisquer dois de seus vértices estão ligados por uma aresta.

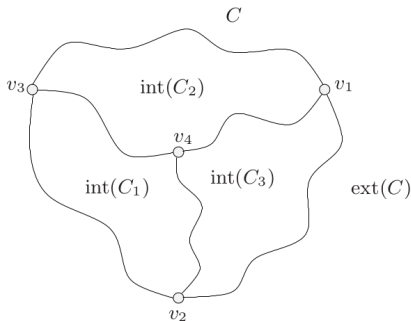
O grafo K_5 não é planar

Teorema 14.1: K_5 não é planar.

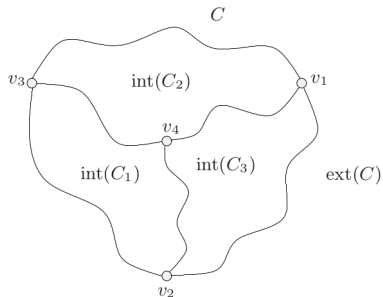
Demonstração:

Suponha, por absurdo, que K_5 tem uma imersão planar G . Sejam v_1, v_2, v_3, v_4, v_5 os vértices de G . Como G é completo, quaisquer dois de seus vértices estão ligados por uma aresta.

G contém um ciclo $C = v_1 v_2 v_3 v_1$ que é uma curva simples fechada no plano. Então, o vértice v_4 deve estar em $int(C)$ ou $ext(C)$. Sem perda de generalidade, podemos supor que $v_4 \in int(C)$. Note que as arestas $v_1 v_4, v_2 v_4, v_3 v_4$ também estão todas em $int(C)$.

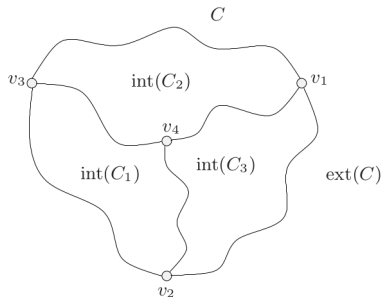


O grafo K_5 não é planar



Considere os ciclos $C_1 = v_2 v_3 v_4 v_2$, $C_2 = v_3 v_1 v_4 v_3$ e $C_3 = v_1 v_2 v_4 v_1$. Observe que $v_i \in \text{ext}(C_i)$, para $i = 1, 2, 3$.

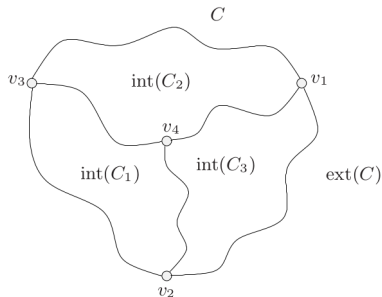
O grafo K_5 não é planar



Considere os ciclos $C_1 = v_2 v_3 v_4 v_2$, $C_2 = v_3 v_1 v_4 v_3$ e $C_3 = v_1 v_2 v_4 v_1$. Observe que $v_i \in \text{ext}(C_i)$, para $i = 1, 2, 3$.

Como $v_i v_5 \in E(G)$ e G é um grafo plano, pelo Teorema da Curva de Jordan, segue que $v_5 \in \text{ext}(C_i)$, para $i = 1, 2, 3$. Assim, $v_5 \in \text{ext}(C)$.

O grafo K_5 não é planar



Considere os ciclos $C_1 = v_2 v_3 v_4 v_2$, $C_2 = v_3 v_1 v_4 v_3$ e $C_3 = v_1 v_2 v_4 v_1$. Observe que $v_i \in \text{ext}(C_i)$, para $i = 1, 2, 3$.

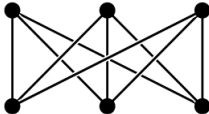
Como $v_i v_5 \in E(G)$ e G é um grafo plano, pelo Teorema da Curva de Jordan, segue que $v_5 \in \text{ext}(C_i)$, para $i = 1, 2, 3$. Assim, $v_5 \in \text{ext}(C)$.

Mas então, novamente, pelo Teorema da Curva de Jordan, temos que a aresta $v_4 v_5$ cruza C . Isso contradiz a planaridade da imersão G . ■

O grafo $K_{3,3}$ não é planar

Exercício para casa: Usar o Teorema da curva de Jordan para provar o seguinte resultado:

Teorema 14.2: $K_{3,3}$ não é planar.

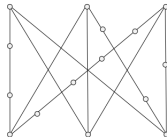
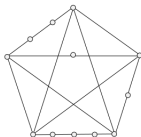


Subdivisões

- Seja e uma aresta de um grafo G com extremos $uv \in V(G)$.
- **Subdividir a aresta** e consiste em remover e do grafo G e adicionar um novo vértice x a $V(G)$, ligando x aos extremos de e .

Subdivisões

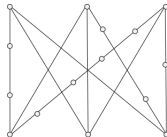
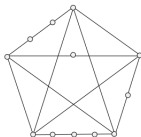
- Seja e uma aresta de um grafo G com extremos $uv \in V(G)$.
- **Subdividir a aresta** e consiste em remover e do grafo G e adicionar um novo vértice x a $V(G)$, ligando x aos extremos de e .
- Qualquer grafo obtido a partir de um grafo G por meio de uma sequência de subdivisões de arestas é chamado uma **subdivisão** de G ou uma **G -subdivisão**.



Subdivisões do K_5 e do $K_{3,3}$

Subdivisões

- Seja e uma aresta de um grafo G com extremos $uv \in V(G)$.
- **Subdividir a aresta** e consiste em remover e do grafo G e adicionar um novo vértice x a $V(G)$, ligando x aos extremos de e .
- Qualquer grafo obtido a partir de um grafo G por meio de uma sequência de subdivisões de arestas é chamado uma **subdivisão** de G ou uma **G -subdivisão**.



Subdivisões do K_5 e do $K_{3,3}$

Obs.: Toda subdivisão do K_5 e do $K_{3,3}$ é não planar.

Teorema 14.4: Seja G um grafo. Se G contém um subgrafo isomorfo a subdivisão do K_5 ou do $K_{3,3}$, então G não é planar.

Demonstração:

Teorema 14.4: Seja G um grafo. Se G contém um subgrafo isomorfo a subdivisão do K_5 ou do $K_{3,3}$, então G não é planar.

Demonstração:

- Suponha, por absurdo, que G contém um subgrafo isomorfo a subdivisão do K_5 ou do $K_{3,3}$ e que G é planar.
- Como G é planar, ele possui uma imersão no plano G' .
- Seja $H \subseteq G'$ o subgrafo de G isomorfo à subdivisão do K_5 ou do $K_{3,3}$. Portanto, o K_5 ou o $K_{3,3}$ possuem uma imersão planar, contradizendo o fato deles serem não planares.
- Portanto, G não é planar. □

Teorema 14.5: Um grafo G é planar se e somente se toda subdivisão de G é planar.

Demonstração:

Teorema 14.5: Um grafo G é planar se e somente se toda subdivisão de G é planar.

Demonstração:

- (\Rightarrow) Seja G um grafo planar e G' uma subdivisão qualquer de G . Como em cada subdivisão de uma aresta e_1 de G o caminho que substitui a aresta e_1 pode ser desenhado ao longo da aresta original e_1 , G' também é planar.

Teorema 14.5: Um grafo G é planar se e somente se toda subdivisão de G é planar.

Demonstração:

- (\Rightarrow) Seja G um grafo planar e G' uma subdivisão qualquer de G . Como em cada subdivisão de uma aresta e_1 de G o caminho que substitui a aresta e_1 pode ser desenhado ao longo da aresta original e_1 , G' também é planar.
- (\Leftarrow) Vamos provar a contrapositiva. Suponha que G não é planar. Tome qualquer desenho de G no plano e forme uma subdivisão de G selecionando uma aresta qualquer de G para fazer uma subdivisão dela. Então, o resultado desta subdivisão é não planar. ■

Teorema de Kuratowski

- O Teorema 14.5 implica que nenhum grafo planar pode conter uma subdivisão do K_5 ou do $K_{3,3}$.
- Em 1930, o matemático polonês Kazimierz Kuratowski provou um teorema fundamental declarando que todo grafo não planar necessariamente contém uma subdivisão de um desses dois grafos.

Teorema de Kuratowski

- O Teorema 14.5 implica que nenhum grafo planar pode conter uma subdivisão do K_5 ou do $K_{3,3}$.
- Em 1930, o matemático polonês Kazimierz Kuratowski provou um teorema fundamental declarando que todo grafo não planar necessariamente contém uma subdivisão de um desses dois grafos.

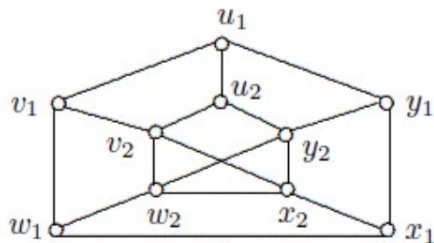
Teorema 14.6: Um grafo G é planar se e somente se ele não contém uma subdivisão do K_5 ou do $K_{3,3}$.

Subdivisões do K_5 e do $K_{3,3}$ são **subgrafos proibidos** para a classe dos grafos planares.



Kazimierz
Kuratowski

Este grafo é planar?



Imergindo grafos

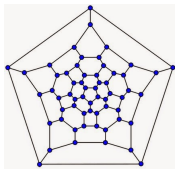


Imergindo grafos

- Alguém pode considerar a imersão de grafos em outras superfícies além do plano, como por exemplo em uma esfera ou em uma caneca.

Imergindo grafos

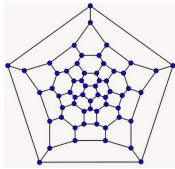
- Alguém pode considerar a imersão de grafos em outras superfícies além do plano, como por exemplo em uma esfera ou em uma caneca.



Imersão do icosaedro em uma
esfera

Imergindo grafos

- Alguém pode considerar a imersão de grafos em outras superfícies além do plano, como por exemplo em uma esfera ou em uma caneca.



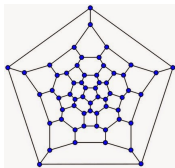
Imersão do icosaedro em uma esfera



Imersão do $K_{3,3}$ em uma caneca

Imergindo grafos

- Alguém pode considerar a imersão de grafos em outras superfícies além do plano, como por exemplo em uma esfera ou em uma caneca.



Imersão do icosaedro em uma esfera

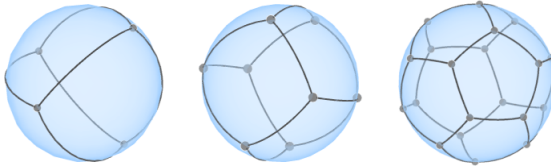


Imersão do $K_{3,3}$ em uma caneca

- Sabe-se que, para toda superfície S , existem grafos que não são imersíveis em S . Contudo, todo grafo pode ser imersível no espaço euclidiano tridimensional, o \mathbb{R}^3 (**Exercício (3) no final dos slides**).

Grafos imersíveis na esfera

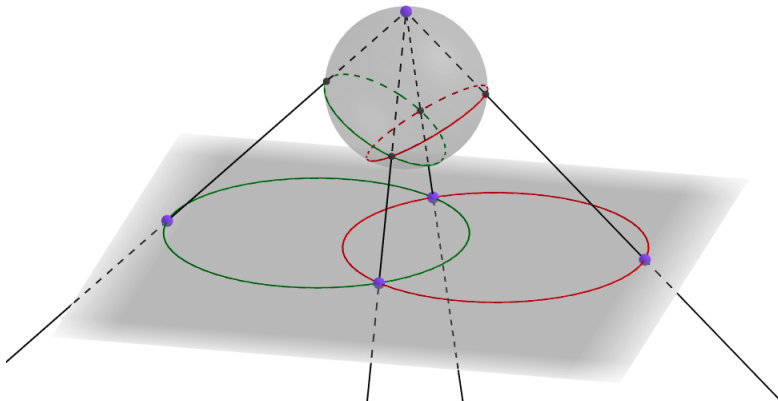
- Será possível imergir grafos planares também na esfera?



- Grafos planares e grafos imersíveis na esfera constituem a mesma classe de grafos. Para ver isso, fazemos uso de um mapeamento conhecido como projeção estereográfica.

Projeção estereográfica

- Considere uma esfera S em repouso sobre um plano P e seja z o ponto diametralmente oposto ao ponto de contato entre P e S . O mapeamento $\pi: S \setminus \{z\} \rightarrow P$, definido por $\pi(s) = p$ se e somente se os pontos z , s e p são colineares, é chamado **projeção estereográfica** a partir de z .



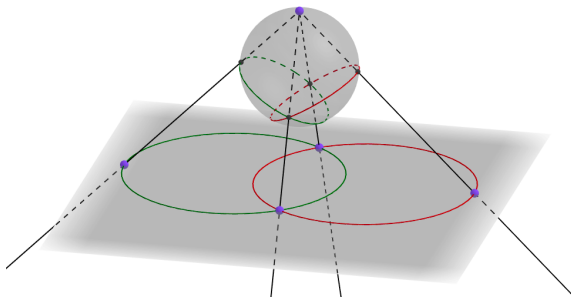
Teorema 14.7: Um grafo G é imersível no plano se e somente se ele é imersível na esfera.

Demonstração:

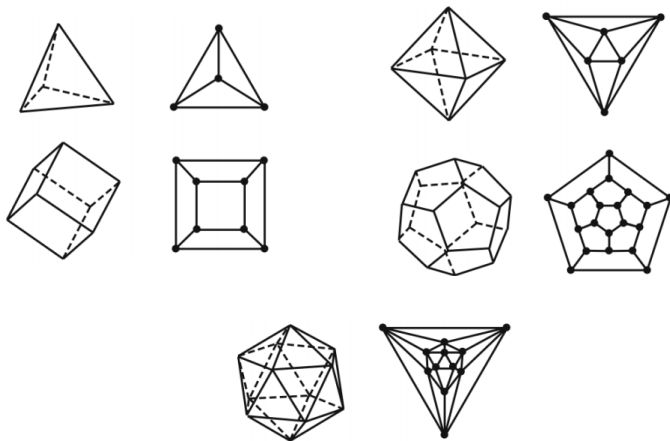
Teorema 14.7: Um grafo G é imersível no plano se e somente se ele é imersível na esfera.

Demonstração:

Suponha que G tem uma imersão \tilde{G} na esfera. Escolha um ponto z da esfera que não esteja em \tilde{G} . Então, a imagem de \tilde{G} sob projeção estereográfica a partir de z é uma imersão de G no plano. A prova do inverso é análoga. ■



Projeções estereográficas dos sólidos platônicos



Faces

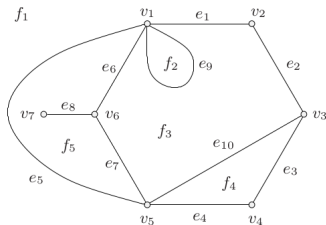


Faces

- Dado um grafo plano G , removendo-se todas as curvas e os pontos que representam as arestas e os vértices de G , o que resta são regiões conexas, chamadas **faces**.

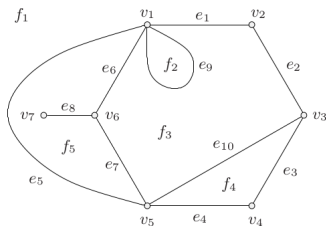
Faces

- Dado um grafo plano G , removendo-se todas as curvas e os pontos que representam as arestas e os vértices de G , o que resta são regiões conexas, chamadas **faces**.
- Note que sempre há uma face ilimitada. Tal face é chamada **face externa**. O grafo abaixo tem 5 faces f_1, f_2, f_3, f_4, f_5 .



Faces

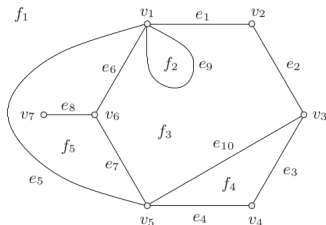
- Dado um grafo plano G , removendo-se todas as curvas e os pontos que representam as arestas e os vértices de G , o que resta são regiões conexas, chamadas **faces**.
- Note que sempre há uma face ilimitada. Tal face é chamada **face externa**. O grafo abaixo tem 5 faces f_1, f_2, f_3, f_4, f_5 .



- $F(G)$: conjunto de faces de um grafo plano G .
- $f(G)$: número de faces de um grafo plano G .

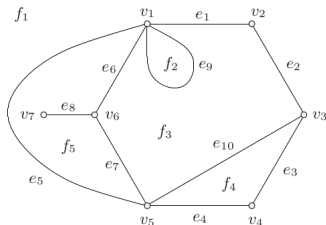
Faces e Fronteiras

- A **fronteira** de uma face é o passeio fechado formado pelas arestas e vértices no fecho da face. Denotamos a fronteira de uma face f por $\partial(f)$.



Faces e Fronteiras

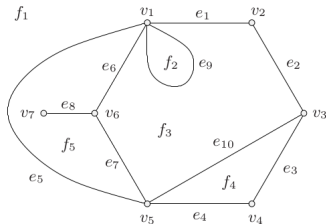
- A **fronteira** de uma face é o passeio fechado formado pelas arestas e vértices no fecho da face. Denotamos a fronteira de uma face f por $\partial(f)$.



- Dizemos que uma face é **incidente** aos vértices e arestas na sua fronteira. Duas faces são ditas **adjacentes** se suas fronteiras têm uma aresta em comum.

Faces e Fronteiras

- Se e é uma aresta de corte, então apenas uma face é incidente a e .
- Se e não é uma aresta de corte, então há exatamente duas faces incidentes a e .
 - Neste caso, dizemos que e **separa** essas faces.

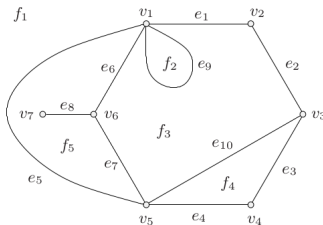


Grau de uma face

- O grau de uma face f , denotado por $d(f)$, é o número de arestas incidentes a f , onde as arestas de corte são contadas duas vezes.
 - Também pode ser visto como o comprimento do passeio fechado que determina a fronteira da face.

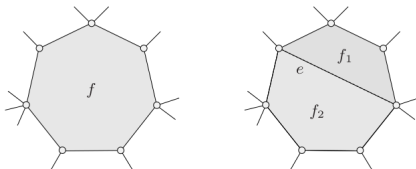
Grau de uma face

- O **grau de uma face** f , denotado por $d(f)$, é o número de arestas incidentes a f , onde as arestas de corte são contadas duas vezes.
 - Também pode ser visto como o comprimento do passeio fechado que determina a fronteira da face.
- Na figura abaixo temos que $d(f_5) = 5$ e $d(f_3) = 6$.



Subdividindo uma face

- Seja G um grafo plano conexo. **Subdividir** uma face f de G consiste em adicionar uma nova aresta e ligando dois vértices na fronteira de f de modo que a aresta e pertença inteiramente ao interior da face f .



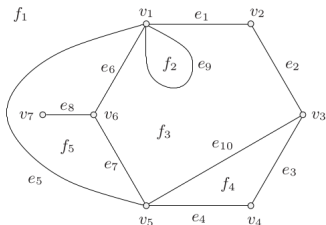
- Esta operação resulta em um grafo plano $G + e$ com exatamente uma face a mais que G . Todas as faces de G , com exceção de f são também faces de $G + e$, e a face f é substituída por duas novas faces f_1 e f_2 , que incidem na aresta e , como ilustrado acima.

Dualidade



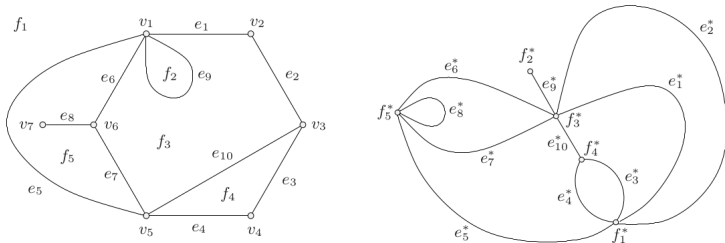
Grafo dual

- Seja G um grafo plano. O **dual** de G , denotado por G^* , é o grafo definido da seguinte maneira:
 - a cada face f de G fazemos corresponder um vértice f^* em G^* .
 - a cada aresta e de G fazemos corresponder uma aresta e^* em G^* , tal que e^* liga dois vértices f^* e h^* se e somente se as faces f e h em G são separadas por e .



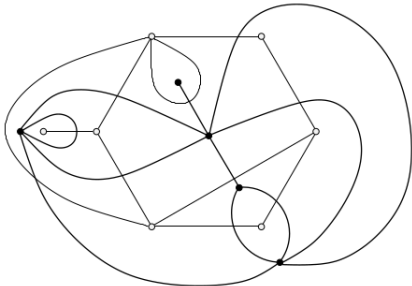
Grafo dual

- Seja G um grafo plano. O **dual** de G , denotado por G^* , é o grafo definido da seguinte maneira:
 - a cada face f de G fazemos corresponder um vértice f^* em G^* .
 - a cada aresta e de G fazemos corresponder uma aresta e^* em G^* , tal que e^* liga dois vértices f^* e h^* se e somente se as faces f e h em G são separadas por e .



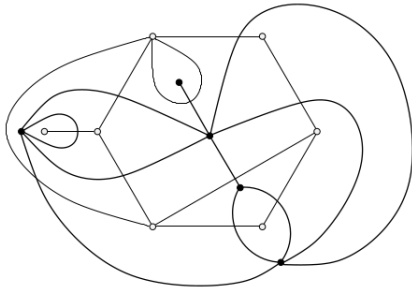
Grafo dual – Observações

- **FATO 1:** O dual de um grafo plano é um grafo planar.



Grafo dual – Observações

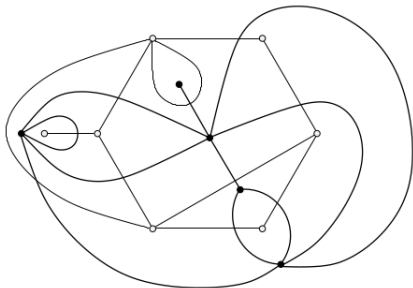
- **FATO 1:** O dual de um grafo plano é um grafo planar.



- **FATO 2:** Se a aresta e é uma aresta de corte em G , então a aresta e^* é um laço em G^* . Inversamente, se e é um laço em G , então e^* é uma aresta de corte de G^* .

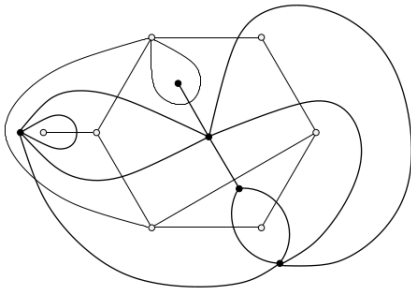
Grafo dual – Observações

- **FATO 3:** No dual G^* de um grafo plano G , as arestas correspondendo às que pertencem à fronteira de uma face f de G são justamente as arestas incidentes no vértice correspondente f^* .



Grafo dual – Observações

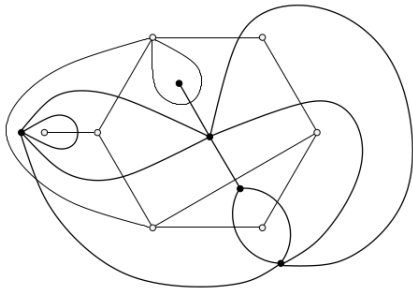
- **FATO 3:** No dual G^* de um grafo plano G , as arestas correspondendo às que pertencem à fronteira de uma face f de G são justamente as arestas incidentes no vértice correspondente f^* .



- **FATO 4:** $|V(G^*)| = |F(G)|$ e $|E(G^*)| = |E(G)|$.

Grafo dual – Observações

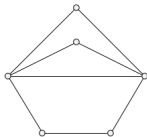
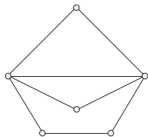
- **FATO 3:** No dual G^* de um grafo plano G , as arestas correspondendo àquelas que pertencem à fronteira de uma face f de G são justamente as arestas incidentes no vértice correspondente f^* .



- **FATO 4:** $|V(G^*)| = |F(G)|$ e $|E(G^*)| = |E(G)|$.
- **FATO 5:** $d_{G^*}(f^*) = d_G(f)$ para todo $f \in F(G)$.

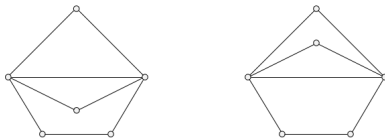
Grafo dual – Observações

- **Obs.:** Um grafo planar pode ter representações planas distintas cujos duais não são isomorfos. Vejam como ficam os duais das seguintes representações planas de um mesmo grafo G .



Grafo dual – Observações

- **Obs.:** Um grafo planar pode ter representações planas distintas cujos duais não são isomorfos. Vejam como ficam os duais das seguintes representações planas de um mesmo grafo G .



- Assim, o conceito de grafo dual só faz sentido para grafo plano e não pra grafos planares em geral.
- No entanto, Whitney(1933) provou que todo grafo simples planar 3-conexo tem uma imersão planar única (no sentido de que as fronteiras de suas faces são unicamente determinadas) e, portanto, têm um único grafo dual.

Teorema – Somatória dos graus das faces

Teorema 14.5: Se G é um grafo plano, então

$$\sum_{f \in F(G)} d(f) = 2m.$$

Demonstração:

Teorema – Somatória dos graus das faces

Teorema 14.5: Se G é um grafo plano, então

$$\sum_{f \in F(G)} d(f) = 2m.$$

Demonstração:

Seja G^* o dual de G . Pelos Fatos 4 e 5 e pelo Teorema de Euler (Handshaking Lemma), temos que

$$\sum_{f \in F(G)} d(f) = \sum_{f^* \in V(G^*)} d(f^*) = 2|E(G^*)| = 2|E(G)| = 2m.$$



Teorema – Grafo Dual

Teorema 14.6: O dual de qualquer grafo plano é conexo.

Demonstração:

Teorema – Grafo Dual

Teorema 14.6: O dual de qualquer grafo plano é conexo.

Demonstração:

- Seja G um grafo plano e G^* o grafo plano dual de G . Considere quaisquer dois vértices de G^* . Existe uma curva no plano conectando esses dois vértices que evita todos os vértices de G . A sequência de faces e arestas de G percorridas por esta curva corresponde em G^* a um passeio conectando os dois vértices. ■

Grafo dual e cortes de arestas

- O Teorema da curva de Jordan declara que uma curva simples fechada C separa o seu interior $int(C)$ do seu exterior $ext(C)$. Nos grafos planos essa dualidade entre curva e corte torna-se uma dualidade entre ciclos e cortes de arestas mínimos (bonds).

Grafo dual e cortes de arestas

- O Teorema da curva de Jordan declara que uma curva simples fechada C separa o seu interior $int(C)$ do seu exterior $ext(C)$. Nos grafos planos essa dualidade entre curva e corte torna-se uma dualidade entre ciclos e cortes de arestas mínimos (bonds).
- Vamos provar o seguinte resultado.

Teorema 14.7: Arestas em um grafo plano G formam um ciclo em G se e somente se as arestas duais correspondentes formam um corte de arestas minimal em G^* .

Teorema

Teorema 14.7: Arestas em um grafo plano G formam um ciclo em G se e somente se as arestas duais correspondentes formam um corte de arestas minimal em G^* .

Demonstração:

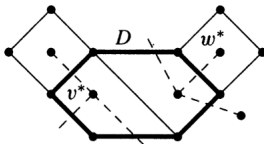
- (\implies) Considere $D \subseteq E(G)$. Suponha inicialmente que D é o conjunto de arestas de um ciclo C em G .

Teorema

Teorema 14.7: Arestas em um grafo plano G formam um ciclo em G se e somente se as arestas duais correspondentes formam um corte de arestas minimal em G^* .

Demonstração:

- (\implies) Considere $D \subseteq E(G)$. Suponha inicialmente que D é o conjunto de arestas de um ciclo C em G .
- O conjunto de arestas correspondente $D^* \subseteq E(G^*)$ contém todas as arestas duais ligando faces no interior de C a faces no exterior de C (o Teorema da curva de Jordan implica que existe pelo menos uma delas). Assim, D^* é um corte de arestas.



Continuação da demonstração

- Pelo Lema 9.4 (Conectividade), um corte de arestas F de G é minimal se e somente se $G - F$ tem duas componentes.

Continuação da demonstração

- Pelo Lema 9.4 (Conectividade), um corte de arestas F de G é minimal se e somente se $G - F$ tem duas componentes.
- Pelo Teorema 14.6, o subgrafo de G^* induzido por todos os vértices de G^* que correspondem às faces de G contidas no interior de C formam um subgrafo H conexo em G^* . O mesmo acontece com o subgrafo de G^* induzido por todos os vértices de G^* que correspondem às faces de G contidas no exterior de C .

Continuação da demonstração

- Pelo Lema 9.4 (Conectividade), um corte de arestas F de G é minimal se e somente se $G - F$ tem duas componentes.
- Pelo Teorema 14.6, o subgrafo de G^* induzido por todos os vértices de G^* que correspondem às faces de G contidas no interior de C formam um subgrafo H conexo em G^* . O mesmo acontece com o subgrafo de G^* induzido por todos os vértices de G^* que correspondem às faces de G contidas no exterior de C .
- Logo, pelo Lema 9.4, temos que o corte de arestas D^* é minimal.

Continuação da demonstração

Teorema 14.7: Arestas em um grafo plano G formam um ciclo em G se e somente se as arestas duais correspondentes formam um corte de arestas minimal em G^* .

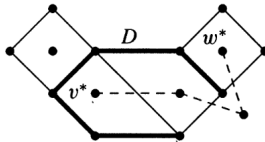
Demonstração:

Continuação da demonstração

Teorema 14.7: Arestas em um grafo plano G formam um ciclo em G se e somente se as arestas duais correspondentes formam um corte de arestas minimal em G^* .

Demonstração:

- (\Leftarrow) Vamos provar a contrapositiva. Considere $D \subseteq E(G)$. Suponha que D não contém arestas de nenhum ciclo C em G . Então, temos que as arestas em D não são fronteira de nenhuma região do grafo plano G .

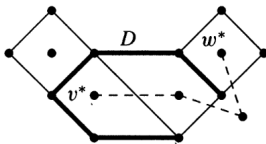


Continuação da demonstração

Teorema 14.7: Arestas em um grafo plano G formam um ciclo em G se e somente se as arestas duais correspondentes formam um corte de arestas minimal em G^* .

Demonstração:

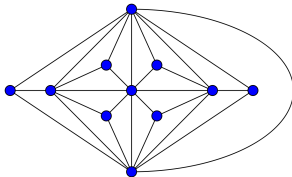
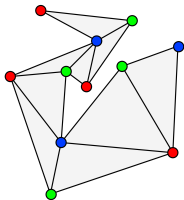
- (\Leftarrow) Vamos provar a contrapositiva. Considere $D \subseteq E(G)$. Suponha que D não contém arestas de nenhum ciclo C em G . Então, temos que as arestas em D não são fronteira de nenhuma região do grafo plano G .



- Então é possível alcançar a face ilimitada de G a partir de qualquer outra face sem cruzar D . Portanto, $G^* - D^*$ é conexo, e D^* não contém nenhum corte de arestas. ■

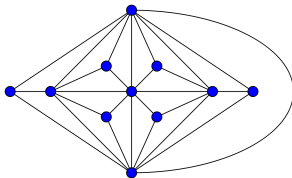
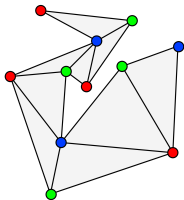
Definição – Triangulações

- Uma **triangulação** é um grafo plano simples e conexo no qual todas as suas faces têm grau três. Quais dos grafos abaixo são triangulação?



Definição – Triangulações

- Uma **triangulação** é um grafo plano simples e conexo no qual todas as suas faces têm grau três. **Quais dos grafos abaixo são triangulação?**



- Como uma consequência do Teorema da Curva de Jordan, temos o seguinte resultado:

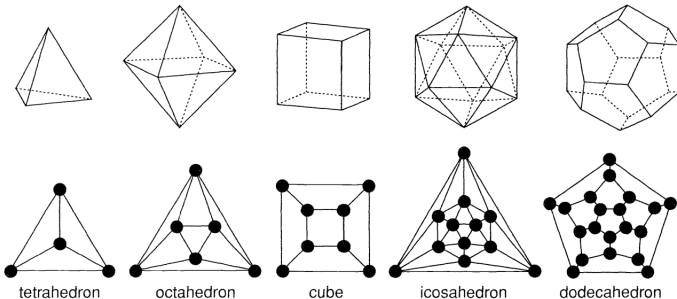
Corolário 14.8: Um grafo plano simples e conexo é uma triangulação se e somente se seu dual é 3-regular.

Fórmula de Euler



Grafos platônicos

Quantos vértices, arestas e faces têm os grafos planares abaixo?



Fórmula de Euler

Teorema 14.9 [Euler, 1758]: Se um grafo plano conexo G tem exatamente n vértices, m arestas e f faces, então $n - m + f = 2$.

Demonstração:

Fórmula de Euler

Teorema 14.9 [Euler, 1758]: Se um grafo plano conexo G tem exatamente n vértices, m arestas e f faces, então $n - m + f = 2$.

Demonstração:

- Seja G um grafo plano conexo com n vértices, m arestas e f faces.

Fórmula de Euler

Teorema 14.9 [Euler, 1758]: Se um grafo plano conexo G tem exatamente n vértices, m arestas e f faces, então $n - m + f = 2$.

Demonstração:

- Seja G um grafo plano conexo com n vértices, m arestas e f faces.
- Primeiro, suponha que G é uma árvore de ordem n . Então $m = n - 1$ e $f = 1$. Assim, temos que $n - m + f = 2$. Portanto, resta tratar o caso em que G é plano, conexo e contém ciclos.

Fórmula de Euler

Teorema 14.9 [Euler, 1758]: Se um grafo plano conexo G tem exatamente n vértices, m arestas e f faces, então $n - m + f = 2$.

Demonstração:

- Seja G um grafo plano conexo com n vértices, m arestas e f faces.
- Primeiro, suponha que G é uma árvore de ordem n . Então $m = n - 1$ e $f = 1$. Assim, temos que $n - m + f = 2$. Portanto, resta tratar o caso em que G é plano, conexo e contém ciclos.
- Suponha, por absurdo, que o teorema não vale para tais grafos. Então, existe um grafo plano e conexo G com o menor tamanho possível para o qual a fórmula de Euler não é verdadeira.

Fórmula de Euler

- Suponha que G tem ordem n , tamanho m e f faces. Pela nossa suposição, $n - m + r \neq 2$.

Fórmula de Euler

- Suponha que G tem ordem n , tamanho m e f faces. Pela nossa suposição, $n - m + r \neq 2$.
- Como G não é uma árvore, ele tem uma aresta e que não é uma ponte. Assim, $G - e$ é um grafo plano conexo de ordem n e tamanho $m - 1$ tendo $f - 1$ faces.

Fórmula de Euler

- Suponha que G tem ordem n , tamanho m e f faces. Pela nossa suposição, $n - m + r \neq 2$.
- Como G não é uma árvore, ele tem uma aresta e que não é uma ponte. Assim, $G - e$ é um grafo plano conexo de ordem n e tamanho $m - 1$ tendo $f - 1$ faces.
- Como o tamanho de $G - e$ é menor que m , a fórmula de Euler vale para $G - e$. Logo, $n - (m - 1) + (f - 1) = 2$. Porém, isso implica $n - m + f = 2$, o que é uma contradição. ■

Fórmula de Euler

- Suponha que G tem ordem n , tamanho m e f faces. Pela nossa suposição, $n - m + r \neq 2$.
- Como G não é uma árvore, ele tem uma aresta e que não é uma ponte. Assim, $G - e$ é um grafo plano conexo de ordem n e tamanho $m - 1$ tendo $f - 1$ faces.
- Como o tamanho de $G - e$ é menor que m , a fórmula de Euler vale para $G - e$. Logo, $n - (m - 1) + (f - 1) = 2$. Porém, isso implica $n - m + f = 2$, o que é uma contradição. ■

A Fórmula de Euler tem muitas aplicações. Veremos algumas das suas consequências nos próximos slides.

Consequência da Fórmula de Euler

Corolário 14.10: Todas as representações planas de um grafo planar conexo têm o mesmo número de faces.

Demonstração:

Consequência da Fórmula de Euler

Corolário 14.10: Todas as representações planas de um grafo planar conexo têm o mesmo número de faces.

Demonstração:

- Seja \tilde{G} uma representação plana de um grafo planar G .

Consequência da Fórmula de Euler

Corolário 14.10: Todas as representações planas de um grafo planar conexo têm o mesmo número de faces.

Demonstração:

- Seja \tilde{G} uma representação plana de um grafo planar G .
- Pela Fórmula de Euler, nós temos que

$$|F(\tilde{G})| = |E(\tilde{G})| - |V(\tilde{G})| + 2 = |E(G)| - |V(G)| + 2.$$

Consequência da Fórmula de Euler

Corolário 14.10: Todas as representações planas de um grafo planar conexo têm o mesmo número de faces.

Demonstração:

- Seja \tilde{G} uma representação plana de um grafo planar G .
- Pela Fórmula de Euler, nós temos que

$$|F(\tilde{G})| = |E(\tilde{G})| - |V(\tilde{G})| + 2 = |E(G)| - |V(G)| + 2.$$

- Assim, o número de faces de \tilde{G} depende somente do grafo G , e não da sua representação plana. ■

Consequência da Fórmula de Euler

Corolário 14.11: Se G é um grafo simples planar de ordem $n \geq 3$, então $m \leq 3n - 6$. Além disso, $m = 3n - 6$ se e somente se toda imersão plana de G é uma triangulação.

Demonstração:

Consequência da Fórmula de Euler

Corolário 14.11: Se G é um grafo simples planar de ordem $n \geq 3$, então $m \leq 3n - 6$. Além disso, $m = 3n - 6$ se e somente se toda imersão plana de G é uma triangulação.

Demonstração:

- Seja G um grafo simples planar de ordem $n \geq 3$. Primeiro, suponha que G é conexo.

Consequência da Fórmula de Euler

Corolário 14.11: Se G é um grafo simples planar de ordem $n \geq 3$, então $m \leq 3n - 6$. Além disso, $m = 3n - 6$ se e somente se toda imersão plana de G é uma triangulação.

Demonstração:

- Seja G um grafo simples planar de ordem $n \geq 3$. Primeiro, suponha que G é conexo.
- Seja \tilde{G} uma representação plana qualquer de G .

Consequência da Fórmula de Euler

Corolário 14.11: Se G é um grafo simples planar de ordem $n \geq 3$, então $m \leq 3n - 6$. Além disso, $m = 3n - 6$ se e somente se toda imersão plana de G é uma triangulação.

Demonstração:

- Seja G um grafo simples planar de ordem $n \geq 3$. Primeiro, suponha que G é conexo.
- Seja \tilde{G} uma representação plana qualquer de G .
- Como G é simples, conexo e tem pelo menos 3 vértices, a fronteira de cada face de G tem pelo menos três arestas, ou seja, $d(f) \geq 3$ para todo $f \in F(\tilde{G})$.

Continuação da demonstração

- Portanto, pelo Teorema 14.5 e pela Fórmula de Euler, temos que

$$2m = \sum_{f \in F(\tilde{G})} d(f) \geq 3|F(\tilde{G})| = 3(m - n + 2) \quad (1)$$

o que implica $m \leq 3n - 6$.

Continuação da demonstração

- Portanto, pelo Teorema 14.5 e pela Fórmula de Euler, temos que

$$2m = \sum_{f \in F(\tilde{G})} d(f) \geq 3|F(\tilde{G})| = 3(m - n + 2) \quad (1)$$

o que implica $m \leq 3n - 6$.

- Se G é não conexo, então arestas podem ser adicionadas a \tilde{G} a fim de produzir um grafo plano conexo de ordem n e tamanho m' com $m < m'$. Pela demonstração acima, temos que $m' < 3n - 6$ e, portanto, $m < 3n - 6$.

Continuação da demonstração

- Portanto, pelo Teorema 14.5 e pela Fórmula de Euler, temos que

$$2m = \sum_{f \in F(\tilde{G})} d(f) \geq 3|F(\tilde{G})| = 3(m - n + 2) \quad (1)$$

o que implica $m \leq 3n - 6$.

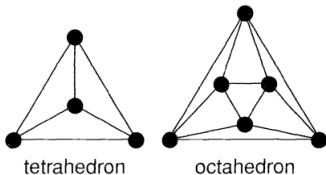
- Se G é não conexo, então arestas podem ser adicionadas a \tilde{G} a fim de produzir um grafo plano conexo de ordem n e tamanho m' com $m < m'$. Pela demonstração acima, temos que $m' < 3n - 6$ e, portanto, $m < 3n - 6$.
- A igualdade acontece na inequação acima se e somente se ela acontece em (1), ou seja, se e somente se $d(f) = 3$ para toda face $f \in F(\tilde{G})$. Neste caso, \tilde{G} é uma triangulação (Corolário 14.8). ■

Triangulações

- (Exercício para Casa): todo grafo plano simples com pelo menos três vértices é um subgrafo gerador de uma triangulação.

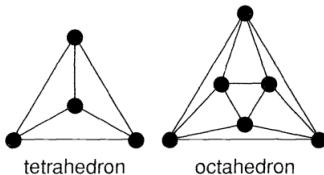
Triangulações

- **(Exercício para Casa):** todo grafo plano simples com pelo menos três vértices é um subgrafo gerador de uma triangulação.
- Por outro lado, uma consequência imediata do Corolário 14.11 é que nenhum supergrafo simples de uma triangulação é planar. Ou seja, não é possível adicionar novos links em uma triangulação sem fazer o grafo deixar de ser planar.



Triangulações

- **(Exercício para Casa):** todo grafo plano simples com pelo menos três vértices é um subgrafo gerador de uma triangulação.
- Por outro lado, uma consequência imediata do Corolário 14.11 é que nenhum supergrafo simples de uma triangulação é planar. Ou seja, não é possível adicionar novos links em uma triangulação sem fazer o grafo deixar de ser planar.



- Por causa destes resultados, triangulações são chamadas de **grafos planares maximais**.

Exercício para Casa

- **Definição:** Dizemos que um grafo é **livre de triângulos** se ele não possui o C_3 como subgrafo induzido.

Exercício para Casa

- **Definição:** Dizemos que um grafo é **livre de triângulos** se ele não possui o C_3 como subgrafo induzido.
- Usando um argumento similar ao usado na demonstração do teorema 14.11, prove o seguinte resultado.

Corolário 14.12: Se G é um grafo simples planar de ordem $n \geq 3$ e livre de triângulos, então $m \leq 2n - 4$.

Consequência da Fórmula de Euler

Corolário 14.13: Todo grafo planar simples tem um vértice de grau no máximo cinco.

Demonstração:

Consequência da Fórmula de Euler

Corolário 14.13: Todo grafo planar simples tem um vértice de grau no máximo cinco.

Demonstração:

- Seja G um grafo planar simples com n vértices e m arestas.

Consequência da Fórmula de Euler

Corolário 14.13: Todo grafo planar simples tem um vértice de grau no máximo cinco.

Demonstração:

- Seja G um grafo planar simples com n vértices e m arestas.
- Suponha, por absurdo, que $\delta(G) \geq 6$.

Consequência da Fórmula de Euler

Corolário 14.13: Todo grafo planar simples tem um vértice de grau no máximo cinco.

Demonstração:

- Seja G um grafo planar simples com n vértices e m arestas.
- Suponha, por absurdo, que $\delta(G) \geq 6$.
- Pelo Handshaking Lemma e pelo fato acima, temos que:

$$2m = \sum_{v \in V(G)} d(v) \geq 6n.$$

Consequência da Fórmula de Euler

Corolário 14.13: Todo grafo planar simples tem um vértice de grau no máximo cinco.

Demonstração:

- Seja G um grafo planar simples com n vértices e m arestas.
- Suponha, por absurdo, que $\delta(G) \geq 6$.
- Pelo Handshaking Lemma e pelo fato acima, temos que:

$$2m = \sum_{v \in V(G)} d(v) \geq 6n.$$

- Logo, $m \geq 3n > 3n - 6$. Pelo Teorema 14.11, G é não planar. Contradição.
- Portanto, $\delta(G) \leq 5$. □

Consequência da Fórmula de Euler

Corolário 14.14: O grafo K_5 não é planar.

Demonstração:

Consequência da Fórmula de Euler

Corolário 14.14: O grafo K_5 não é planar.

Demonstração:

- Pelo corolário 14.9, se G é um grafo simples planar de ordem $n \geq 3$, então $m \leq 3n - 6$.

Consequência da Fórmula de Euler

Corolário 14.14: O grafo K_5 não é planar.

Demonstração:

- Pelo corolário 14.9, se G é um grafo simples planar de ordem $n \geq 3$, então $m \leq 3n - 6$.
- Se o K_5 fosse planar, teríamos então que

$$\begin{aligned}|E(K_5)| &\leq 3|V(K_5)| - 6 \\ 10 &\leq 9\end{aligned}$$

o que é uma contradição.

Consequência da Fórmula de Euler

Corolário 14.14: O grafo K_5 não é planar.

Demonstração:

- Pelo corolário 14.9, se G é um grafo simples planar de ordem $n \geq 3$, então $m \leq 3n - 6$.
- Se o K_5 fosse planar, teríamos então que

$$\begin{aligned}|E(K_5)| &\leq 3|V(K_5)| - 6 \\ 10 &\leq 9\end{aligned}$$

o que é uma contradição.

- Logo, o K_5 não é planar.



Consequência da Fórmula de Euler

Corolário 14.15: O grafo $K_{3,3}$ não é planar.

Demonstração:

- Suponha $K_{3,3}$ planar e seja G uma representação plana de $K_{3,3}$.

Consequência da Fórmula de Euler

Corolário 14.15: O grafo $K_{3,3}$ não é planar.

Demonstração:

- Suponha $K_{3,3}$ planar e seja G uma representação plana de $K_{3,3}$.
- Como o $K_{3,3}$ não contém ciclo de comprimento menor que 4, toda face de G tem grau pelo menos quatro.

Consequência da Fórmula de Euler

Corolário 14.15: O grafo $K_{3,3}$ não é planar.

Demonstração:

- Suponha $K_{3,3}$ planar e seja G uma representação plana de $K_{3,3}$.
- Como o $K_{3,3}$ não contém ciclo de comprimento menor que 4, toda face de G tem grau pelo menos quatro.

- Pelo Teorema 14.5, temos que $\sum_{f \in F(G)} d(f) = 2|E(G)|$. Portanto,

$$4|F(G)| \leq \sum_{f \in F(G)} d(f) = 2|E(G)| = 18 \implies 4|F(G)| \leq 18 \implies |F(G)| \leq 4$$

- Agora, podemos usar a Fórmula de Euler, que nos dá $2 = |V(G)| - |E(G)| + |F(G)| \leq 6 - 9 + 4 = 1$, o que é um absurdo. ■

Número de cruzamentos



Número de cruzamentos

- O **número de cruzamentos** de um grafo de um grafo G é o menor número de cruzamentos que uma representação plana de G pode ter. Esse número é denotado por $\nu(G)$.
- Para um grafo pequeno G podemos usar a seguinte estratégia para determinar o número de cruzamentos de G :
 - Considere um desenho de G no plano. Seja H um subgrafo plano maximal de G .
 - Como H é maximal, toda aresta de G que não está em H cruza alguma aresta de H . Assim, o desenho tem pelo menos $|E(G)| - |E(H)|$ cruzamentos.
 - Se G tem n vértices, então $m(H) \leq 3n - 6$.
 - Se G não tem triângulos, então $m(H) \leq 2n - 4$.

Número de cruzamentos – Exemplo

Teorema: $\nu(K_6) = 3$.

Demonstração:

Número de cruzamentos – Exemplo

Teorema: $\nu(K_6) = 3$.

Demonstração:

- O grafo K_6 possui 15 arestas.

Número de cruzamentos – Exemplo

Teorema: $\nu(K_6) = 3$.

Demonstração:

- O grafo K_6 possui 15 arestas.
- Sabemos que um grafo planar com 6 vértices possui no máximo $3n - 6 = 18 - 6 = 12$ arestas.

Número de cruzamentos – Exemplo

Teorema: $\nu(K_6) = 3$.

Demonstração:

- O grafo K_6 possui 15 arestas.
- Sabemos que um grafo planar com 6 vértices possui no máximo $3n - 6 = 18 - 6 = 12$ arestas.
- Logo, como observado no slide anterior, um desenho de G no plano possui pelo menos $15 - 12 = 3$ cruzamentos. Portanto, $\nu(K_6) \geq 3$.

Número de cruzamentos – Exemplo

Teorema: $\nu(K_6) = 3$.

Demonstração:

- O grafo K_6 possui 15 arestas.
- Sabemos que um grafo planar com 6 vértices possui no máximo $3n - 6 = 18 - 6 = 12$ arestas.
- Logo, como observado no slide anterior, um desenho de G no plano possui pelo menos $15 - 12 = 3$ cruzamentos. Portanto, $\nu(K_6) \geq 3$.
- O seguinte desenho do K_6 no plano possui 3 cruzamentos. Logo, $\nu(K_6) \leq 3$.

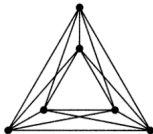


Número de cruzamentos – Exemplo

Teorema: $\nu(K_6) = 3$.

Demonstração:

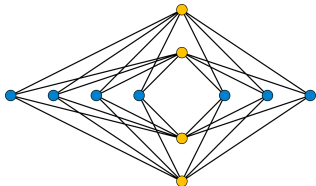
- O grafo K_6 possui 15 arestas.
- Sabemos que um grafo planar com 6 vértices possui no máximo $3n - 6 = 18 - 6 = 12$ arestas.
- Logo, como observado no slide anterior, um desenho de G no plano possui pelo menos $15 - 12 = 3$ cruzamentos. Portanto, $\nu(K_6) \geq 3$.
- O seguinte desenho do K_6 no plano possui 3 cruzamentos. Logo, $\nu(K_6) \leq 3$.



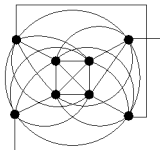
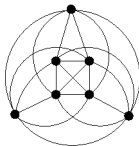
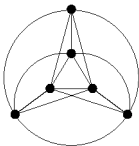
Número de cruzamentos

Conjetura [Zarankiewicz 1954]: $\nu(K_{m,n}) = \lfloor \frac{m}{2} \rfloor \lfloor \frac{m-1}{2} \rfloor \lfloor \frac{n}{2} \rfloor \lfloor \frac{n-1}{2} \rfloor$.

Conjetura [Hill 1950]: $\nu(K_n) = \frac{1}{4} \lfloor \frac{n}{2} \rfloor \lfloor \frac{n-1}{2} \rfloor \lfloor \frac{n-2}{2} \rfloor \lfloor \frac{n-3}{2} \rfloor$.



$$\nu(K_{4,7}) \leq 18$$



$$\nu(K_6) \leq 3, \nu(K_7) \leq 9 \text{ e } \nu(K_8) \leq 18$$

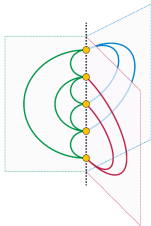
- Conjetura de Hill está provada para todo $n \leq 12$.
- Conjetura de Zarankiewicz está provada para $m \leq 6$ e $n \geq 3$.

Exercícios



Exercícios

- (1) Usando o Teorema da Curva de Jordan, mostre que o $K_{3,3}$ não é planar.
- (2) Mostre que o grafo $K_5 - e$ é planar, para toda aresta e do K_5 .
- (3) Um **k-livro** é um subespaço topológico do \mathbb{R}^3 consistindo em k quadrados unitários, chamados de **páginas**, que possuem um lado em comum, chamado de sua **espinha**, mas que são dois a dois disjuntos. Mostre que qualquer grafo G é imersível no \mathbb{R}^3 mostrando que ele é imersível em um k -livro, para algum inteiro não negativo k . Por exemplo, uma imersão do K_5 em um 3-livro é mostrada abaixo



Exercícios

- (4) Mostre que o grafo de Petersen contém uma subdivisão do $K_{3,3}$
- (5) Prove que um grafo é planar se e somente se cada um dos seus blocos é planar.
- (6) Prove que o dual de um grafo par é bipartido.
- (7) Prove que todo grafo plano simples e conexo com n vértices, $n \geq 3$, é um subgrafo gerador de uma triangulação.

Exercícios

- (8) Considere um desenho \tilde{G} no plano de um grafo (não necessariamente) planar G . Duas arestas de \tilde{G} **cruzam** se elas se intersectam em um ponto que não é um vértice de \tilde{G} . Esses pontos de cruzamentos de arestas são chamados de **cruzamentos**. O **número de cruzamento** de um grafo G , denotado por $cr(G)$, é o menor número de cruzamentos em um desenho de G no plano. Mostre que:
- (a) $cr(G) = 0$ se e somente se G é planar.
 - (b) $cr(K_5) = cr(K_{3,3}) = 1$
 - (c) $cr(P) = 2$, onde P é o grafo de Petersen.
 - (d) $cr(K_6) = 3$.

FIM

